ГОРНОЕ ДЕЛО И ГЕОТЕХНОЛОГИИ

УДК 622.831 (075)

С.В. Риб, А.М. Никитина, Д.М. Борзых

Сибирский государственный индустриальный университет

ОБОСНОВАНИЕ ПАРАМЕТРОВ АНКЕРНОГО КРЕПЛЕНИЯ ГОРНЫХ ВЫРАБОТОК, ПРОВОДИМЫХ ПО ПЕРВОМУ СЛОЮ ПЛАСТА III В УСЛОВИЯХ ДИЗЪЮНКТИВНЫХ И ПЛИКАТИВНЫХ НАРУШЕНИЙ С ДРОБЛЕНЫМИ И ОБВОДНЕННЫМИ ПОРОДАМИ В УСЛОВИЯХ ОАО «ШАХТА «СИБИРГИНСКАЯ»

Статистика применения анкерной крепи показывает, что основной проблемой в безопасном поддержании горных выработок, находящихся под влиянием горно-геологических нарушений, является низкий уровень исследований, направленных на установление закономерностей изменения геомеханических параметров в неоднородном углепородном массиве до и после крепления горных выработок анкерной крепью.

В этой связи необходимо изучить влияние основных природных и техногенных процессов на проявления горного давления в зонах геологических нарушений с учетом изменения параметров анкерной крепи в горной выработке.

В качестве объекта исследований рассматриваются закономерности распределения напряжений в породах кровли горной выработки.

Для установления закономерностей изменения геомеханических параметров пород в неоднородном углепородном массиве проведено математическое моделирование численным методом конечных элементов [1]. Этот метод реализовали с помощью программного обеспечения, адаптированного для решения поставленных задач. Адаптированный к задаработы настоящей пакет программ FRMKERIB предназначен для моделирования процессов изменения смещений, напряжений и деформаций под влиянием природных полей напряжений и горных выработок в углепородном массиве. Авторские компьютерные программы выполнены на языке Фортран 90 в среде программирования Microsoft Developer Studio.

Алгоритм расчета параметров напряженнодеформированного состояния (НДС) углепородного массива разработан на основе дифференциальных уравнений механики сплошной среды. Для расчета параметров НДС используется двумерная геометрическая модель размером 1000 м по горизонтальной оси OX и 450 мпо вертикальной оси OY. Модель включает угольные и породные слои различной мощности. Количество слоев в модели 100, а их мощность меняется от 0,05 до 100 м. Количество вертикальных линий на геометрической модели принимается 200 с расстоянием между ними от 0,01 до 100 м. Слои значительной мощности делятся на подслои для повышения точности расчета параметров НДС.

Геометрическая модель разделяется на множество конечных элементов (треугольников); глобальная нумерация треугольников последовательная от низа модели вправо вверх. Глобальная нумерация узловых точек треугольника осуществляется против часовой стрелки. Вес пород в пределах каждого треугольника распределяется поровну на три вершины.

Для численного эксперимента использовались горно-геологические условия пласта III сложного строения, общей мощностью 8,81 -9,89 м (средняя 9,14 м). Марка угля ОС. Угол падения пласта 3 – 10°, коэффициент крепости изменяется от 0,2 до 1,4. В ходе работ были выявлены многочисленные мелкоамплитудные нарушения. Амплитуда нарушений не имеет четких границ и изменяется в среднем от 0,2 до 5,0 м. Преобладающее простирание плоскости сместителя СВ – ЮЗ. Нарушения с амплитудой 2 – 3 м часто трассируют субпараллельные нарушения с амплитудой 0.2 - 0.9 м. Основная кровля пласта представлена песчаником общей мощностью 17,5 м. Глубина расположения выработки по пласту III составляет 400 м; ширина горной выработки 6 м. высота 4 м.

Пакет программ FRMKERIB состоит из четырех программ и трех файлов исходных данных. Для каждого породного слоя или пласта ввод исходных данных по геологической скважине осуществляется файла из Mkeckw.dat с преобразованием в файл Mke100.dat c помощью программы Mke2d101.for, в котором затем корректировались исходные данные: форма и размеры горной выработки, параметры анкерной крепи (размеры скважины для стержня анкера, длина закрепления стержня химическим составом, диаметр стержня, количество анкеров) и др. Параметры анкерной крепи, принимаемые в модели [2], следующие: анкер сталеполимерный, диаметр стержня 20 мм, диаметр скважины 30 мм, длина химического закрепления 0,5 м, длина анкера 2,4 м. Схема расположения анкеров представлена на рис. 1 (расстояние между анкерами в ряду составляло 1,0 м).

За начало координат принята точка пересечения вертикальной оси выработки с кровлей отрабатываемого пласта. Автоматическая дискретизация массива производится в несколько этапов с выделением вначале четырехугольных зон по напластованиям с последующим делением на треугольники с помощью программы **Mke2d103.for**.

Для оценки качества дискретизации модели на конечные элементы в программе SURFER можно посмотреть результаты счета. На рис. 2 приведены фрагменты дискретизации модели на конечные элементы. В средней части модели размеры конечных элементов приняты с длиной стороны треугольника, равной 10 мм, поэтому на этих рисунках они не отобразились в масштабе. В программах расчета параметров НДС все конечные элементы, независимо от размеров, используются.

Вычисление напряжений, деформаций и смещений осуществляется в программе **Mke2d117.for**. В этой же программе задавалась растягивающая нагрузка на стержни анкеров и сжимающая на опорные шайбы.

Программа **Mke2dsur.for** содержит комплекс подпрограмм для расчета линейных и нелинейных полных вертикальных, горизонтальных и касательных напряжений, вертикальных и горизонтальных смещений, вертикальных и горизонтальных деформаций и др. с формированием файла выходных данных **m6.dat** для пакета

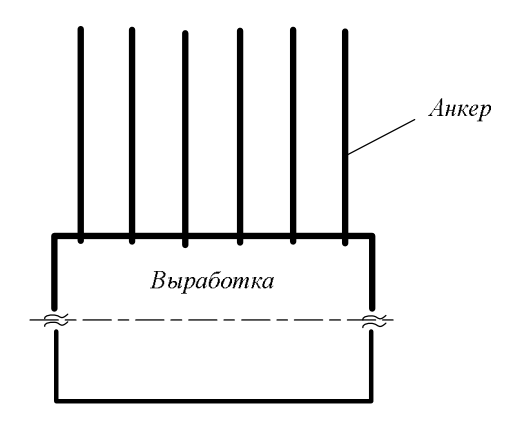


Рис. 1. Схема расположения анкеров в кровле по выработке

программ SURFER. В SURFER осуществляется обработка и визуализация результатов расчета.

Рассмотрены 5 вариантов модели:

- незакрепленная горная выработка, расположенная в кровле пласта;
- незакрепленная горная выработка, расположенная на расстоянии 1,8 м от кровли пласта;
- выработка, расположенная в кровле пласта (6 анкеров в кровле, длина анкера 2,4 м);
- выработка, расположенная на расстоянии 1,8 м от кровли пласта (6 анкеров в кровле, длина анкера 2,4 м);
- выработка, расположенная на расстоянии 1,8 м от кровли пласта (6 анкеров в кровле, длина анкера 3,5 м).

Выявлялись закономерности распределения вертикальных и горизонтальных напряжений в углепородном массиве. Исследовалось влияние анкеров в кровле горной выработки на характер распределения напряжений.

Для визуализации и обобщения результатов расчетов программно осуществлялся ввод из файлов координат точек и расчетных значений параметров, затем производилась их обработка с построением трехмерных карт в виде изолиний с помощью программы SURFER (рис. $3, a, \delta$).

Учитывая множество расчетных вариантов, особенности моделей и большое количество получаемых по каждому конечному элементу напряжений, результаты были систематизированы в таблицы.

При сравнении расчетных параметров за базовые варианты приняты модели массива с горной выработкой без крепления (рис. 3, *a*).

По результатам математического моделирования численным методом конечных элементов установлены закономерности распределения напряжений в породах кровли горной выработки и разработаны следующие рекомендации.

- 1. Установленные анкеры приводят к формированию в кровле выработки несущей опорной плиты, в пределах которой вертикальные напряжения близки к нулю, а прочность пород почти не меняется. Однако выше упрочненной породной плиты формируется зона ослабленных пород, в пределах которой возможно обрушение с вывалом упрочненных пород и выше их, что подтверждается результатами проведенных ранее исследований [3].
- 2. Для безопасного поддержания горных выработок в работоспособном состоянии необходимо соблюдать следующие параметры крепления:
- в нормальных условиях, вне зон влияния горно-геологического нарушения, крепление осуществляется при помощи сталеполимерных

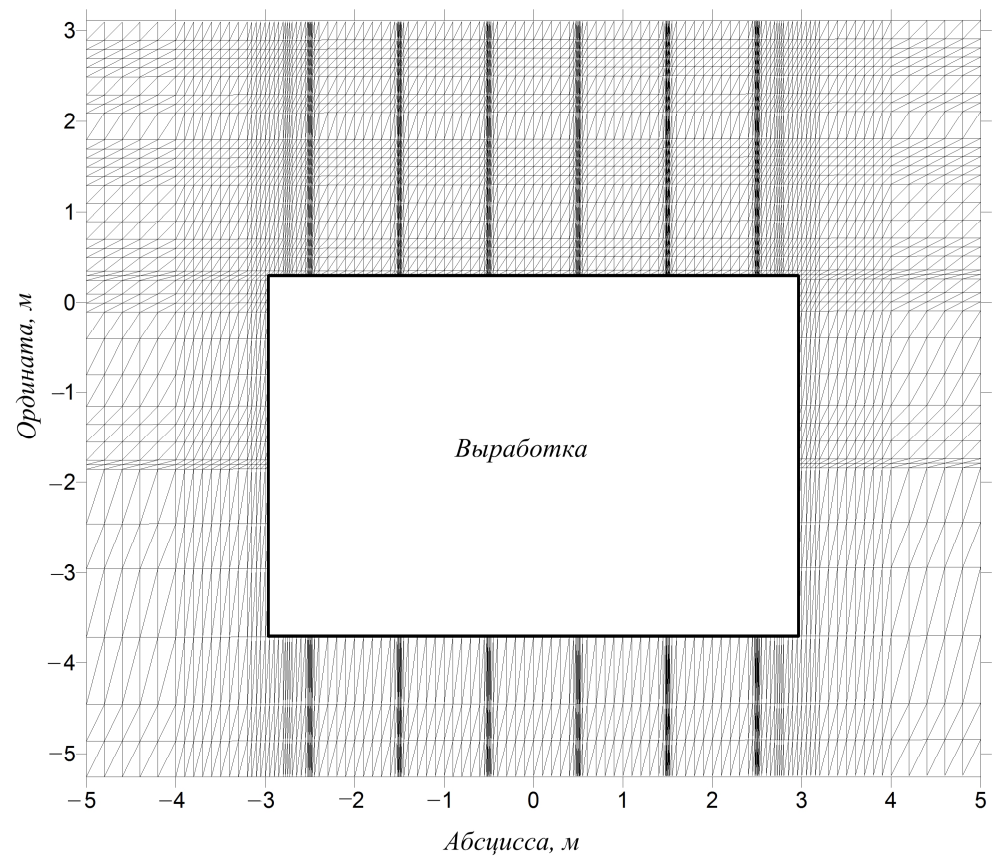
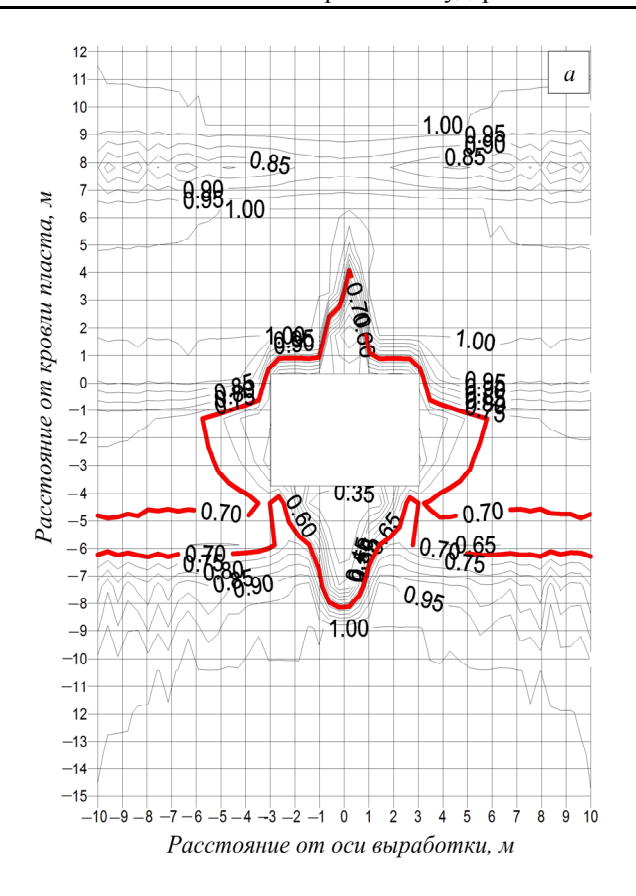


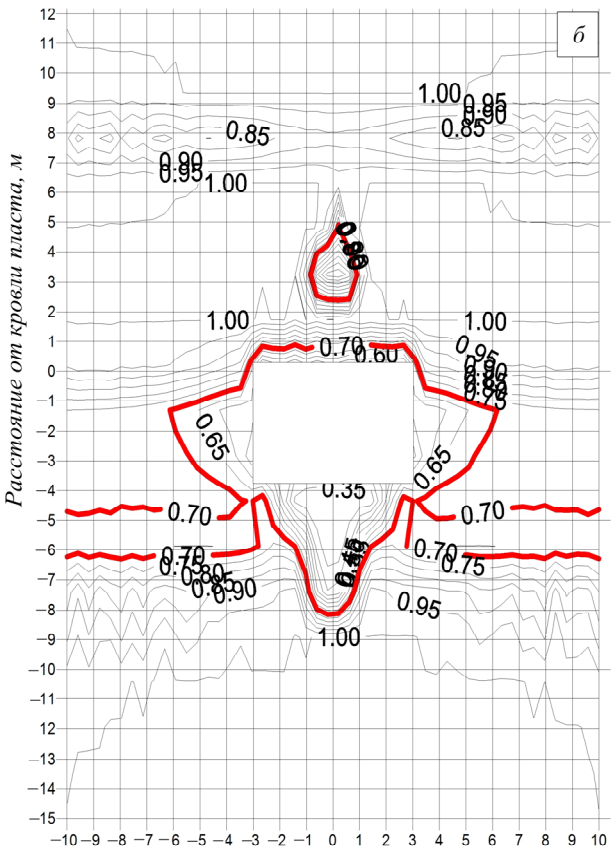
Рис. 2. Схема дискретизации фрагмента модели на конечные элементы (выработка расположена в верхнем слое пласта)

анкеров A20B длиной не менее 2,4 м с шагом крепления 1,2 м (согласно действующему паспорту крепления горных выработок [4]);

- в условиях влияния горно-геологического нарушения с амплитудой (разрыхленной породой в кровле) до 1,0 м крепление осуществляется при помощи сталеполимерных анкеров А20В длиной не менее 2,4 м с шагом крепления 1 м; в кровле устанавливаются 6 анкеров; в качестве опорного элемента допустимо применение подхватов металлических типа швеллер 8(10) или СВП; кровля и бока выработки перетягиваются решетчатой затяжкой типа 3Р;
- в условиях дизъюнктивных и пликативных нарушений с амплитудой (разрыхленной породой в кровле) от 1,0 до 1,5 м крепление осуществляется при помощи сталеполимерных анкеров A20B длиной не менее 2,4 м с шагом крепления 1 м; в кровле устанавливаются 8 анкеров; в качестве опорного элемента допустимо применение подхватов металлических типа швеллер 8(10) или СВП; крайние анкеры в кровле выработки возможно устанавливать под шайбы габаритным размером не менее $180 \times 180 \times 5$ мм; кровля и бока выработки перетягиваются решетчатой затяжкой типа 3P;
- в условиях дизъюнктивных и пликативных нарушений с амплитудой (разрыхленной породой в кровле) от 1,5 до 2,0 м крепление осуществляется при помощи сталеполимерных

- анкеров А20В длиной не менее 2,4 м с шагом крепления 0,8 м; в кровле устанавливаются 8 анкеров, в качестве опорного элемента допустимо применение подхватов металлических типа швеллер 8(10) или СВП; крайние анкеры в кровле выработки возможно устанавливать под шайбы габаритным размером не менее $180 \times 180 \times 5$ мм; кровля и бока выработки перетягиваются решетчатой затяжкой типа 3Р;
- в условиях дизъюнктивных и пликативных нарушений с амплитудой (разрыхленной породой в кровле) от 2,0 до 2,5 м крепление осуществляется при помощи сталеполимерных анкеров A20B длиной не менее 3,0 м с шагом крепления 0,8 м; в кровле устанавливаются 8 анкеров; в качестве опорного элемента допустимо применение подхватов металлических типа швеллер 8(10) или СВП; крайние анкеры в кровле выработки возможно устанавливать под шайбы габаритным размером не менее $180 \times 180 \times 5$ мм; кровля и бока выработки перетягиваются решетчатой затяжкой типа 3P;
- в условиях дизьонктивных и пликативных нарушений с амплитудой (разрыхленной породой в кровле) от 2,5 до 3,0 м крепление осуществляется при помощи сталеполимерных анкеров A20B длиной не менее 3,5 м с шагом крепления 1 м; в кровле устанавливаются 8 анкеров; в качестве опорного элемента допустимо применение подхватов металлических типа швел-





Расстояние от оси выработки, м

Рис. 3. Изолинии распределения отношения остаточной прочности горных пород к исходной в окрестности незакрепленной горной выработки (a) и закрепленной 6 анкерами длиной 2,4 м (δ)

лер 8(10) или СВП; крайние анкеры в кровле выработки возможно устанавливать под шайбы габаритным размером не менее $180 \times 180 \times 5$ мм; кровля и бока выработки перетягиваются решетчатой затяжкой типа 3P;

– в условиях дизъюнктивных и пликативных нарушений с амплитудой (разрыхленной породой в кровле) более 3,0 м осуществлять крепление горных выработок при помощи анкерной крепи; без дополнительных мер усиления крепи и упрочнения приконтурного массива не допустимо.

Амплитуда и зона влияния горногеологического нарушения определяются геологом шахты.

- 3. В случае, когда фактическая ширина горных выработок будет составлять 5,5 м, крепление кровли выработки возможно осуществлять на один анкер меньше в отличие от условий при ширине 6,0 м, с соблюдением всех параметров, указанных выше.
- 4. Во всех рассмотренных случаях горногеологического нарушения крепление боков выработки необходимо осуществлять на анкеры длиной не менее 1,8 м с шагом крепления 1 м. В качестве основной крепи боков допустимо применение стеклопластиковых анкеров типа АСВШ. Анкеры устанавливаются под опорные шайбы габаритным размером не менее 180×180×5 мм или отрезки из СВП.
- 5. Закрепление анкерных стержней в шпуре следует осуществлять в кровле выработки на две ампулы длиной не менее 400 мм; в боках выработки на одну ампулу длиной не менее 400 мм.
- 6. Для контроля за расслоениями пород кровли в горных выработках, проходящих через горно-геологическое нарушение, необходима установка индикаторов смещения кровли. Установку контрольного датчика смещения кровли следует выполнить на метр выше длины анкерных стержней.
- 7. Для постоянного контроля за смещениями заанкерованной толщи пород в зоне пересечения нарушений силами производственного участка, а также технической службой шахты должен осуществляться визуальный контроль за смещениями кровли выработки по индикаторам смещения, установленным в кровле выработки с анкерным креплением, с периодичностью не реже одного раза сутки в зоне влияния опорного давления и не реже одного раза в месяц вне зоны влияния опорного давления.
- 8. В случае проявления горного давления и фиксации смещений по индикаторам смещения кровли до 50 мм необходимо дополнительное усиление крепи и приконтурного массива. Дополнительное усиление возможно при

помощи упрочнения кровли и боков выработки, также возможно усиление крепи при помощи анкеров глубокого заложения.

- 9. Упрочнение приконтурного массива горной выработки возможно методом нагнетания композиционных и химических составов (смол).
- 10. Нагнетание состава необходимо осуществлять при помощи инъекционных скважин, пробуренных между анкерами основного крепления (анкерами A20B).
- 11. В качестве крепи усиления возможно применение анкеров глубокого заложения с несущей способностью одного анкера не менее 210 кН.
- 12. Параметры крепи усиления, химический состав смол, сетка упрочнения и глубина инъекционных шпуров выбираются службами шахты.
- 13. В целях увеличения эффективности обеспечения безопасности горных работ на участках с горно-геологическими нарушениями необходимо осуществлять мониторинг анкерной крепи путем испытаний закрепления анкерных стержней в шпуре.

БИБЛИОГРАФИЧЕСКИЙ СПИСОК

1. Фадеев А.Б. Метод конечных элементов в геомеханике. – М.: Недра, 1987. – 221 с.

- 2. Ремезов А.В., Харитонов В.Г., Мазикин В.П. Анкерное крепление на шахтах Кузбасса и дальнейшее его развитие: учебное пособие. Кемерово: Кузбассвузиздат, 2005. 471 с.
- 3. Никитина А.М., Риб С.В., Борзых Д.М. К вопросу определения закономерностей распределения напряжений в породах кровли горной выработки, закрепленной по различным схемам анкерования // Наукоемкие технологии разработки и использования минеральных ресурсов. Труды Международной научно-практ. конф. Новокузнецк: изд. СибГИУ, 2012. С. 80 84.
- 4. Правила безопасности в угольных шахтах (ПБ 05-618-03). Серия 05. М.: ФГУП «На-учно-технический центр по безопасности Госгортехнадзора России», 2004. 296 с.
- **5.** Методика шахтных испытаний отдельных положений «Инструкции по расчету и применению анкерной крепи на угольных шахтах Кузбасса Первая редакция». СПб.: ВНИМИ, 2010. 12 с.

© 2013 г. С.В. Риб, А.М. Никитина, Д.М. Борзых Поступила 19 сентября 2013 г.

УДК 551.311.7

$\mathbf{\textit{H}}.\mathbf{\textit{M}}.$ $\mathbf{\textit{Fymak}}^1, \, \mathbf{\textit{B}}.\mathbf{\textit{M}}.$ $\mathbf{\textit{Kpynчam}}$ ников 2

 1 Сибирский государственный индустриальный университет 2 ОАО «Горно-Алтайская экспедиция» (п. Малоенисейск, Алтайский край)

ВУЛКАНИЧЕСКИЕ ОБРАЗОВАНИЯ В РАЗРЕЗАХ ТУЕКТИНСКОЙ СВИТЫ (СРЕДНИЙ ДЕВОН) ЦЕНТРАЛЬНОЙ ЧАСТИ ГОРНОГО АЛТАЯ

Туектинская свита установлена в ходе проведения геолого-съемочных работ начала шестидесятых годов. По возрасту она отвечает верхней части живетского яруса среднего девона и содержит в себе кораллы и брахиоподы, в том числе такие, как Euryspirifer cheehiel (Kon.), Spinocyrtia martianovi (Stuck.) и др. Отложения свиты представлены, главным образом, темно-серыми и черными алевролитами и аргиллитами с редкими слоями песчаников и органогенных известняков. По этим характеристикам она близка к ташантинской свите Юстыдского прогиба. Вместе с тем, в разрезе свиты большим распространением пользуются

вулканические образования кислого состава (риолиты). Собственно, их появление здесь и послужило основой для выделения стратиграфического подразделения.

Наличие в разрезе туектинской свиты тел риолитов не вызывает сомнения и не оспаривается, однако трактовка последних как вулканических потоков и покровов вызывает серьезные возражения. Обычно всегда и всюду подчеркивается, что кислая лава малоподвижна, насыщена летучими, что вулканические аппараты такого типа характеризуются взрывными извержениями. Несмотря на это, встречая в поле тело риолитов в осадочной толще,